



# Instituto Tecnológico de Aeronáutica

Divisão de Engenharia Eletrônica

Departamento de Sistemas e Controle

São José dos Campos, São Paulo, Brasil

## Aula 14 - Diagrama de Nyquist usando a resposta em frequência

Rubens J M Afonso

EES-10: Sistemas de Controle I

2 de abril de 2018

- Para construir o diagrama de Nyquist, uma parte do problema (a principal) era avaliar  $G(s)$  sobre o eixo imaginário, isto é,  $G(j\omega)$ ,  $-\infty < \omega < \infty$ ;



- Para construir o diagrama de Nyquist, uma parte do problema (a principal) era avaliar  $G(s)$  sobre o eixo imaginário, isto é,  $G(j\omega)$ ,  $-\infty < \omega < \infty$ ;
- A resposta em frequência consiste justamente na avaliação de  $G(j\omega)$ ,  $0 \leq \omega < \infty$ ;



- Para construir o diagrama de Nyquist, uma parte do problema (a principal) era avaliar  $G(s)$  sobre o eixo imaginário, isto é,  $G(j\omega)$ ,  $-\infty < \omega < \infty$ ;
- A resposta em frequência consiste justamente na avaliação de  $G(j\omega)$ ,  $0 \leq \omega < \infty$ ;
- Mostrou-se que, como  $G(s)$  é racional com coeficientes reais,  $G(\bar{s}) = \bar{G}(s)$ , assim, o trecho  $G(j\omega)$ ,  $-\infty < \omega \leq 0$  é o complexo conjugado de  $G(j\omega)$ ,  $0 \leq \omega < \infty$ ;



- Para construir o diagrama de Nyquist, uma parte do problema (a principal) era avaliar  $G(s)$  sobre o eixo imaginário, isto é,  $G(j\omega)$ ,  $-\infty < \omega < \infty$ ;
- A resposta em frequência consiste justamente na avaliação de  $G(j\omega)$ ,  $0 \leq \omega < \infty$ ;
- Mostrou-se que, como  $G(s)$  é racional com coeficientes reais,  $G(\bar{s}) = \bar{G}(s)$ , assim, o trecho  $G(j\omega)$ ,  $-\infty < \omega \leq 0$  é o complexo conjugado de  $G(j\omega)$ ,  $0 \leq \omega < \infty$ ;
- O diagrama de Bode consiste nos gráficos de  $|G(j\omega)$  e  $\angle G(j\omega)$ ,  $0 \leq \omega < \infty$ ;

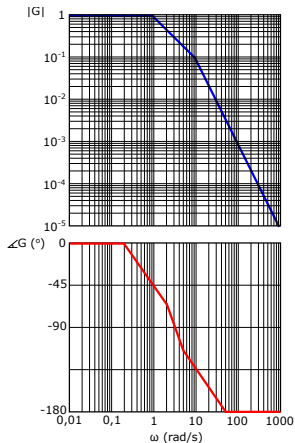


- Para construir o diagrama de Nyquist, uma parte do problema (a principal) era avaliar  $G(s)$  sobre o eixo imaginário, isto é,  $G(j\omega)$ ,  $-\infty < \omega < \infty$ ;
- A resposta em frequência consiste justamente na avaliação de  $G(j\omega)$ ,  $0 \leq \omega < \infty$ ;
- Mostrou-se que, como  $G(s)$  é racional com coeficientes reais,  $G(\bar{s}) = \bar{G}(s)$ , assim, o trecho  $G(j\omega)$ ,  $-\infty < \omega \leq 0$  é o complexo conjugado de  $G(j\omega)$ ,  $0 \leq \omega < \infty$ ;
- O diagrama de Bode consiste nos gráficos de  $|G(j\omega)$  e  $\angle G(j\omega)$ ,  $0 \leq \omega < \infty$ ;
- **Conclusão:** pode-se obter o diagrama polar inspecionando-se o traçado das assíntotas do diagrama de Bode.



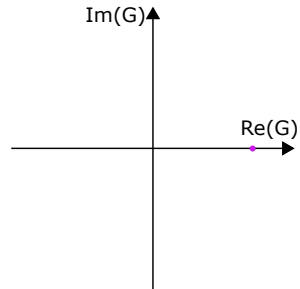
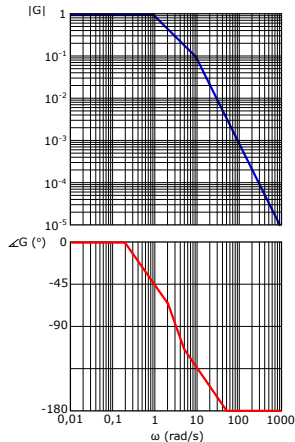
$$G(s) = \frac{10}{(s+1)(s+10)},$$

- As frequências de quebra são  $\omega = 1$  e  $\omega = 10$  e o ganho DC é 1;



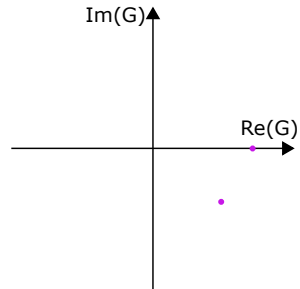
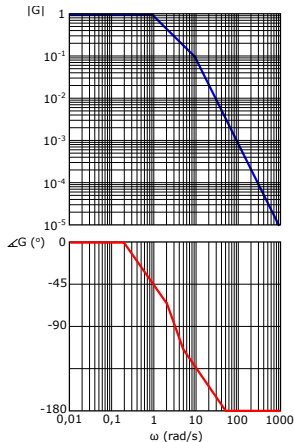
$$G(s) = \frac{10}{(s+1)(s+10)},$$

- Inicialmente, o módulo vale 1 e a fase vale 0, isso equivale ao ponto (1,0) no diagrama polar;



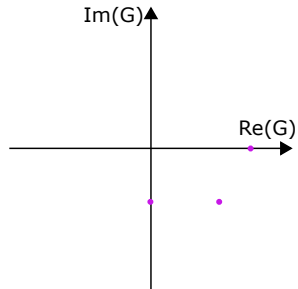
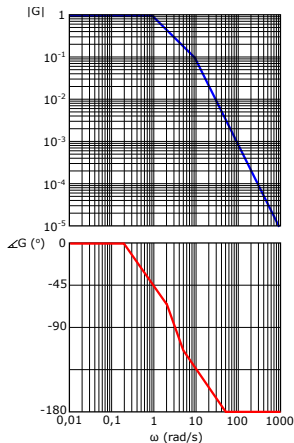
$$G(s) = \frac{10}{(s+1)(s+10)},$$

- Depois, o módulo continua aproximadamente o mesmo e a fase varia a  $-45^\circ$  na frequência de  $1 \text{ rad/s}$ ;



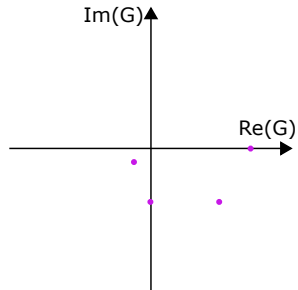
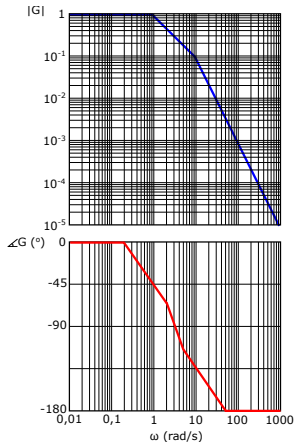
$$G(s) = \frac{10}{(s+1)(s+10)},$$

- Em cerca de  $3 \text{ rad/s}$ , o módulo vale aproximadamente  $0,3$  e a fase,  $-90^\circ$ , ou seja, está sobre o eixo imaginário;



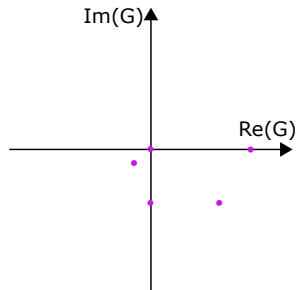
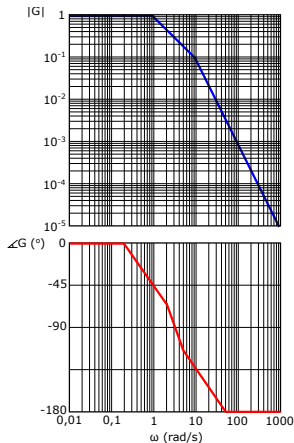
$$G(s) = \frac{10}{(s+1)(s+10)},$$

- Em seguida, a fase vai para  $-135^\circ$  e o módulo decresce a  $1/10$  do seu valor, para  $\omega = 10 \text{ rad/s}$ ;



$$G(s) = \frac{10}{(s+1)(s+10)},$$

- Em  $\omega = 100 \text{ rad/s}$  a fase é de cerca de  $-180^\circ$  e o módulo decaiu a meros  $1/1000$  do valor inicial;



$$G(s) = \frac{10}{(s+1)(s+10)},$$

- A partir dessa frequência a fase permanece em  $-180^\circ$  e o módulo fica cada vez menor  $\Rightarrow$  o ponto converge para a origem no gráfico polar de  $G(j\omega)$ , a partir da esquerda.

